

図-3

τ ~ δ_s 曲線

打壁体は、多段配筋のため $\tau_y = 52.1 \text{ kg/cm}^2$ でほぼ曲線が水平になった後、若干漸増し、 $\delta_s \div 5 \text{ mm}$ でせん断破壊した。一方、継手壁体は、一体打より初期剛性が若干低いものの、安定したループを描き、前述のように部材が降伏する点 τ_y が明らかに示された。この終局せん断強度 τ_y を面内せん断力の評価基準値として扱え、前報の面外せん断の「すべりせん断降伏強度 τ_{SL} 」に対応するものとみなした。 τ_y を示した後の復元力特性はいずれも類似し、 $\delta_s \div 25 \text{ mm}$ でほぼ耐力が回復し、 $\delta_s \div 30 \sim 60 \text{ mm}$ で除荷した。さらに、いずれの継手壁体も面外せん断とほぼ同じ包線線を描いた。

3.3 接合面終局せん断強度 τ_y

前報の面外せん断耐力評価基準値 τ_{SL} の強度発揮機構は、接合面において、コンクリートを弾性体（バネ常数 E_s はコンクリート弾性係数と仮定）、鉄筋を杭とみだてて chang の式（杭頭自由）による横抵抗と接合面の初期付着との和と仮定するのが適切とした。今回の面内せん断でも同様に、実験値 τ_y と $P_{ST} \cdot \sigma_{SY}$ の実験式を、面外せん断の実験結果をも含めて示すと、次式のようになる。

$$\tau_y = 0.36 P_{ST} \cdot \sigma_{SY} + 5.6 \quad (\text{図-4 参照})$$

但し、面外せん断の τ_{SL} は前報と異なり全断面に対する平均せん断応力度とした。

4 まとめ (1) 接合面のシャーコネクターは、土水圧・地震荷重に対し、有効に作用した。(2) 接合面のせん断耐力は、ほぼ接合鉄筋比 P_{ST} によって決まる。(3) 面内・面外ともほぼ統一したせん断耐力の実験式を求めることができた。〈参考文献〉 1) 第35回年次学術構概。V-79~81, 2) 基礎工, Vol 7 No 11; Vol 8 No 6 3) 土木学会誌 1980, 8月, P.21

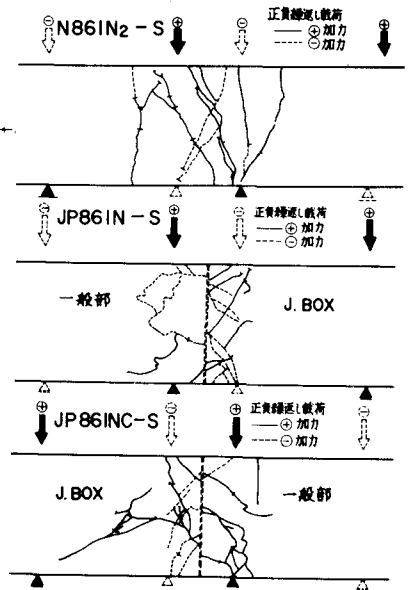


図-2 ひびわれ状況図

実験 試体 No.	鉄筋 種別	シャー コネクター	P _{ST} %	コンクリート				試験 体の 実測結果		τ _y (kg/cm ²)	τ _{max} (kg/cm ²)
				F _c kg/cm ²	E _c (×10 ⁴) kg/cm ²	O _{c1} kg/cm ²	Q _c kg/cm ²	τ _c kg/cm ²	τ _y kg/cm ²		
面 内 せん 断	N861N-S	11)		31.5	2.28	25.1	23.0	21.9	52.0	54.7	
	N861N-S	12)	一体打	38.5	2.62	22.8	-1.62	25.0		38.0	
面 外 せん 断	N861N ₂ -S	13)	5-D25	55.7	3.07	25.8	-5.98	25.7	52.1	60.9	
	JP861N-S	14)	32φ	49.8	2.73	28.5	-7.20		17.2	14.6	
IN S	JP861NC-S	15)	4-D32	1.39	4.87	2.78	28.5	-7.20		28.8	25.8
	JPI341N-S	16)	25φ	5-D32	1.34	4.98	2.73	28.5	-7.20	20.8	17.9
	JPI341NC-S	17)	4-D32	1.92	4.87	2.78	28.5	-7.20	34.2	29.5	34.5

- 注) *1) 地上製作 (1) せん断初ひびわれ応力度 $\tau_c = Q_c/bD$ (kg/cm²)
 *2) 一方側対称加力 (2) 卸降伏時の平均せん断応力度 $\tau_y = Q_y/bD$
 *3) 水平主筋降伏時の平均せん断応力度 (3) 最大平均せん断応力度 $\tau_{max} = Q_{max}/bD$
 (4) $P_{ST} = \sum As/bD$ 接合鉄筋比 (シャーコネクターも考慮する) b: はり幅
 (5) F_c, E_c, O_{c1}: コンクリートの圧縮強度、弾性係数、割断強度 Q: 接合面に作用するせん断力

表-1 IN S シリーズの試験体一覧表と実験結果

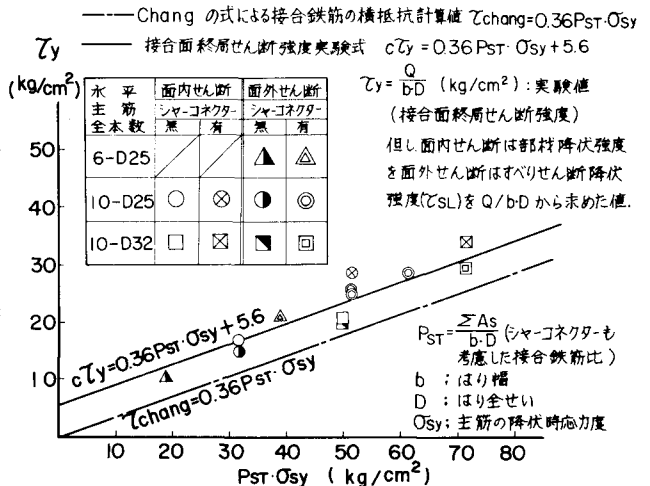


図-4 $\tau_y \sim P_{ST} \cdot \sigma_{SY}$ 曲線